

## РАСЧЕТ ХАРАКТЕРИСТИК ЭМУ ПЕРЕМЕННОГО ТОКА

М. Л. КОСТЫРЕВ, А. И. СКОРОСПЕШКИН

(Представлена семинаром кафедр электрических машин  
и общей электротехники)

В последние годы предложены новые схемы в качестве усилителей мощности, в том числе, бесконтактный «фазочувствительный» электромашинный усилитель с выходом на повышенной нерегулируемой частоте (ЭМУ-ПЧ) [1]. Такой усилитель состоит из обращенного синхронного генератора и асинхронного преобразователя частоты, вращаемых приводным двигателем. Сигнал управления подается на обмотку возбуждения синхронного генератора.

Для электромашинных усилителей характерна работа с ненасыщенной магнитной цепью. Тем не менее, необходимо иметь метод, учитывающий насыщение для расчета режимов с форсировкой напряжения на выходе.

В целях получения компактной экономичной конструкции оба каскада ЭМУ-ПЧ совмещаются в одном магнитопроводе. Вследствие взаимного влияния совмещенных полей невозможно учесть насыщение стали известными методами.

Предлагаемая статья посвящена анализу работы ЭМУ-ПЧ в установленном автономном режиме и методам расчета его характеристик.

При анализе работы машины исходим из следующих основных допущений:

1. Рассматриваем лишь первые гармонические э.д.с. и н.с., так как в правильно спроектированной машине с симметричной нагрузкой даже при совмещении каскадов доля высших гармонических несущественна [2].

2. Пренебрегаем влиянием вихревых токов в стали и гистерезиса на вид характеристик усилителя.

3. Предполагаем, что ротор усилителя вращается двигателем с абсолютно жесткой механической характеристикой.

Схема замещения ЭМУ-ПЧ показана на рис. 1. Для увеличения усиления, уменьшения разброса характеристик и улучшения формы напряжения на выходе усилителя включают конденсаторы.

Второй каскад ЭМУ-ПЧ можно рассматривать как асинхронную машину со скольжением

$$S_2 = \frac{f_2}{f_p} = \frac{p_2 \pm p_1}{p_1}. \quad (1)$$

$P_1$  и  $P_2$  — число пар полюсов I и II каскадов.

В наиболее благоприятном с энергетической точки зрения режиме ротор и поле II каскада вращаются согласно (знак + в (1)). В этом режиме энергия передается электрическим путем из I во II каскад.

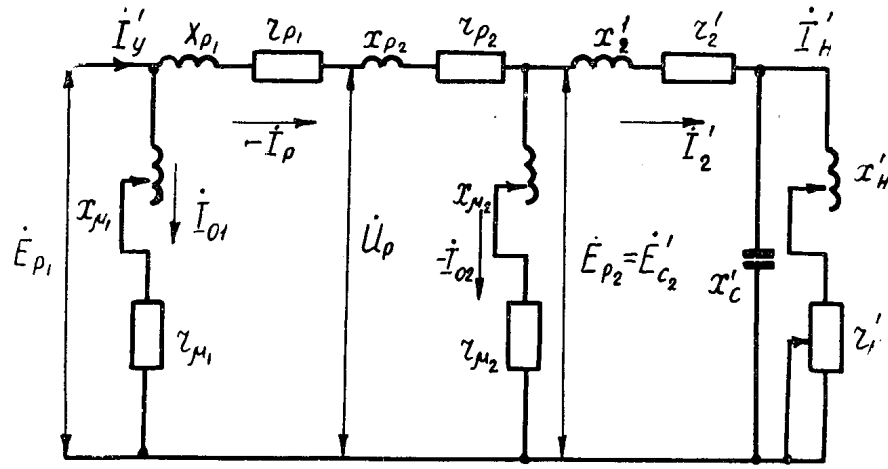


Рис. 1. Точная схема замещения ЭМУ-ПЧ.

На схеме замещения, соответствующей этому режиму, активное и индуктивное сопротивление нагрузки  $r_h'$  и  $x_h'$ , активное и индуктивное сопротивление рассеяния выходной обмотки  $r_2'$  и  $x_2'$  и сопротивление емкости на выходе  $x_c'$  приведены к обмотке ротора II каскада. Так как скольжение  $S_2$  остается постоянным, то удобно определять сопротивления выхода на частоте выхода и приводить их к ротору умножением на коэффициент приведения

$$K = K_{e2} \cdot K_{i2} \quad (2)$$

Коэффициент трансформации токов II каскада

$$K_{i2} = \frac{I_2}{I_2'} = \frac{m_p \cdot W'_{p2}}{m_2 \cdot W_{c2}'}. \quad (3)$$

Коэффициент трансформации э.д.с. II каскада

$$K_{e2} = \frac{E_{c2}'}{E_{c2}} = \frac{W_{p2}'}{W_{c2} \cdot S_2}. \quad (4)$$

Коэффициент приведения тока управления к ротору для обмотки управления концентрического типа

$$K_{i1} = \frac{I_y}{I_y'} \frac{0,9 m_R \cdot W_{p1}'}{W_y \cdot K_f}. \quad (5)$$

$m_p$  и  $m_2$  — число фаз в роторе и на выходе,

$W_{p1}', W_{p2}', W_{c2}'$  — число последовательных витков в фазе обмоток ротора I и II каскадов и обмотки выхода с учетом обмоточных коэффициентов,

$W_y$  — число последовательных витков обмотки управления,

$K_f$  — коэффициент формы поля управления [3].

Сопротивления цепей намагничивания I и II каскадов  $x_{p1}$  и  $x_{p2}$  определяются по известным формулам [3] на частоте ротора для обмоток  $W_{p1}$  и  $W_{p2}$ . Коэффициенты насыщения при работе на линейном участке характеристики холостого хода можно принять

$$K_{p1} \approx K_{p2} = 1,1 \div 1,3.$$

Точная схема замещения сводится к упрощенной на рис. 2, если вынести цепь намагничивания II каскада на выходные зажимы и пре-небречь потерями в стали. Параметры упрощенной схемы

$$x_{p2}' = x_{p2} \cdot \sigma, \quad (6)$$

$$x_p' = (x_{p1} + x_{p2}) \cdot \sigma,$$

$$r_p' = (r_{p1} + r_{p2}) \cdot \sigma.$$

Поправочный коэффициент

$$\sigma \approx 1 + \frac{x_{p1} + x_{p2}}{x_{p2}}. \quad (7)$$

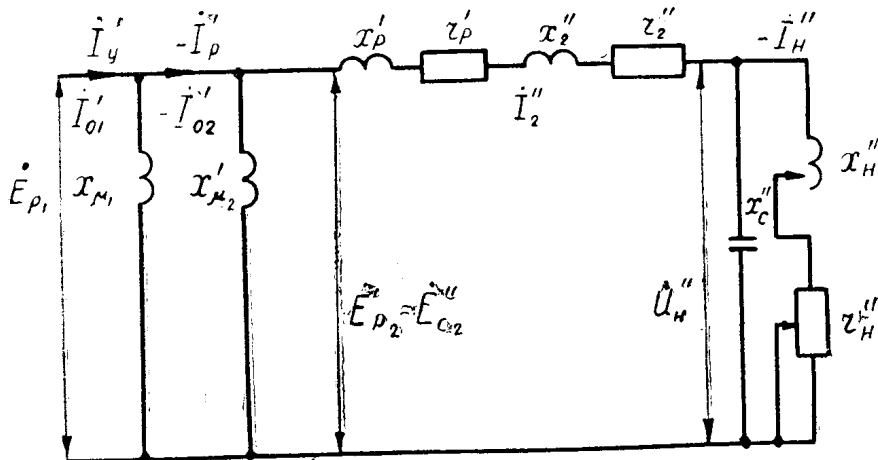


Рис. 2. Упрощенная схема замещения ЭМУ-ПЧ.

Сопротивления  $x_2''$ ,  $r_2''$ ,  $x_c''$ ,  $x_H''$ ,  $r_H''$  получаются умножением  $x_2'$ ,  $r_2'$ ,  $x_c'$ ,  $x_H'$ ,  $r_H'$  на  $\sigma^2$ ,

Рассчитывая внешние характеристики при  $I_y = \text{const}$ ,  $x_c = \text{const}$ , задаемся значениями  $r_H$ ,  $x_H$  и определяем ток и напряжение на выходе

$$U_H = U_H'' \frac{1}{\sigma \cdot K_{e2}}. \quad (8)$$

$$I_H = I_H'' \cdot K_{i2} \cdot \sigma,$$

$I_H''$  и  $U_H''$  определяются из расчета схемы рис. 2.

Расчет регулировочной характеристики сводится к определению  $I_H''$  из схемы рис. 2 при  $U_H = \text{const}$  и изменении  $x_H$ ,  $r_H$ .

Предложенная методика позволяет рассчитать внешние и регулировочные характеристики ЭМУ-ПЧ с удовлетворительной точностью ( $10 \div 20\%$ ) при ненасыщенной магнитной цепи, когда индукция на любом стальном участке не превышает  $1,4 \div 1,5$  тл.

Достаточно хорошее приближение дает также следующая формула для расчета внешней характеристики:

$$U_H = K_u \cdot U_y \cdot \cos \theta' - X_d I_H \cdot \sin \phi_H, \quad (9)$$

$\theta'$  — угол между векторами н.с. обмотки управления и результирующей э. н. с. 1 каскада при токе нагрузки  $I_H$  и коэффициенте мощности нагрузки  $\cos \phi_H$ .

$$\sin \theta' = \frac{K_{i1}}{K_{i2}} \cdot \frac{I_H}{I_y} \cdot \cos \phi_H \quad (10)$$

$K_u$  — коэффициент усиления двух каскадов по напряжению на холостом ходу,

$U_y$  — напряжение, подаваемое на обмотку управления.

Сопротивление  $X_d$  определяется из опыта *х.х.* и *К.З* на выходе при номинальном токе управления.

Характеристики в насыщенном режиме следует рассчитывать с учетом взаимного влияния совмещенных полей. Первые гармонические н. с. на стальные участки магнитопровода зависят лишь от максималь-

ных индукций совмещенных вращающихся полей и не зависят от начальных углов и взаимной скорости перемещения полей [2].

Можно записать ток намагничивания как сумму составляющей тока на воздушный зазор и на стальные участки магнитопровода.

$$I_{01} = I_{06_1} + I_{0ct_1} = \frac{E_{p_1}}{x_{6_1}} + f_1(E_{p_1}, E_{c_2}), \quad (11)$$

$$I_{02} = I_{06_2} + I_{0ct_2} = \frac{E_{c_2}'}{x_{6_2}} + f_2(E_{p_1}, E_{c_2}'),$$

$x_{6_1}$  и  $x_{6_2}$  равны сопротивлениям цепей намагничивания,  $x_{p_1}$  и  $x_{p_2}$  при коэффициентах насыщения  $K_{p_1} = K_{p_2} = 1$ .

Н.с. на стальные участки магнитопровода в машине с совмещенными полями определяются через функции Бесселя от максимальных индукций полей [2].

$$\begin{aligned} I_{0ct_1} = f_1(E_{p_1}, E_{c_2}') &= \frac{p_1}{0,9m_p \cdot W_{p_1}'} \cdot [2L_{zp} \cdot \alpha \cdot I_0(\beta B_{zp_2}) \cdot I_1(\beta B_{zp_1}) + \\ &+ 2L_{zc} \cdot \alpha \cdot I_0(\beta B_{zc_2}) \cdot I_1(\beta B_{zc_1}) + \\ &\frac{4}{\pi} \cdot L_{ap_1} \cdot \alpha \cdot I_0(\beta B_{ap_2}) \cdot I_1(\beta B_{ap_1}) + \frac{4}{\pi} L_{ac_1} \cdot \alpha \cdot I_0(\beta B_{ac_2}) \cdot I_1(\beta B_{ac_1})]. \end{aligned} \quad (12)$$

$$\begin{aligned} I_{0ct_2} = f_2(E_{p_1}, E_{c_2}') &= \frac{p_2}{0,9m_p \cdot W_{p_2}'} [2L_{zp} \cdot \alpha \cdot I_0(\beta B_{zp_1}) \cdot I_1(\beta B_{zp_2}) + \\ &+ 2L_{zc} \cdot \alpha \cdot I_0(\beta B_{zc_1}) \cdot I_1(\beta B_{zc_2}) + \frac{4}{\pi} L_{ap_2} \cdot \alpha \cdot I_0(\beta B_{ap_1}) \cdot I_1(\beta B_{ap_2}) + \\ &+ \frac{4}{\pi} L_{ac_2} \cdot \alpha \cdot I_0(\beta B_{ac_1}) \cdot I_1(\beta B_{ac_2})], \end{aligned}$$

$I_0(\beta B)$  и  $I_1(\beta B)$  — функции Бесселя чисто мнимого аргумента первого рода нулевого и первого порядка,

$L_{zp}$ ,  $L_{zc}$ ,  $L_{ap_1}$ ,  $L_{ap_2}$ ,  $L_{ac_1}$ ,  $L_{ac_2}$  — длины участков пути магнитных потоков I и II каскадов в зубцах и ярмах ротора и статора.

Амплитуды индукций в зубцах и ярмах ротора и статора от полей I и II каскадов  $B_{zp_1}$ ,  $B_{zp_2}$ ,  $B_{zc_1}$ ,  $B_{zc_2}$ ,  $B_{ap_1}$ ,  $B_{ap_2}$ ,  $B_{ac_1}$ ,  $B_{ac_2}$  определяются через э.д.с.  $E_{p_1}$ ,  $E_{c_2}$  и размеры машины,

$\alpha$  и  $\beta$  — коэффициенты, зависящие от марки стали и участка кривой намагничивания [2].

Коэффициенты насыщения I и II каскадов определяются через э.д.с.

$$\begin{aligned} K_{p_1} &= 1 + \frac{x_{6_1}}{E_{p_1}} \cdot f_1(E_{p_1}, E_{c_2}'), \\ K_{p_2} &= 1 + \frac{x_{6_2}}{E_{p_2}} \cdot f_2(E_{p_1}, E_{c_2}'). \end{aligned} \quad (13)$$

Характеристики машины с учетом взаимного влияния совмещенных полей предлагается рассчитывать методом итераций (последовательных приближений).

Предварительно задавшись коэффициентами насыщения, рассчитываем  $E_{p_1}$  и  $E_{c_2}'$  по точной схеме замещения, определяем  $K_{p_1}$  и  $K_{p_2}$  по формуле (13) и повторяем расчет, пока не будет достигнута требуемая точность.

По предложенной методике на ЭЦВМ «Минск-1» были рассчитаны характеристики макета ЭМУ-ПЧ. Функции Бесселя были представле-

ны степенными рядами [4]. Машинное время расчета 5÷6 точек характеристики не превышает 5 мин. при погрешности не более 10 проц.

Предложенная методика применима для расчета характеристик асинхронных бесконтактных преобразователей и других машин совмещенного типа.

#### ЛИТЕРАТУРА

1. E. Mishkin, Poly-field Alternating-Current Induction Machines, United States Patent Office, Dec. 27, 1960, N 2966623.
2. В. С. Новокшено в. Исследование асинхронного бесщеточного преобразователя частоты. Диссертация, Томск, 1960.
3. М. П. Костенко, Л. М. Пиоторовский. Электрические машины, часть II, Энергия, 1965.
4. Э. Грей и Г. Б. Метьюз. Функции Бесселя и их приложение к физике и механике, ИЛ, 1949.